УЛК 550.38

ТЕПЛОВОЙ РЕЖИМ ЛИТОСФЕРЫ ПОД ПОЛУОСТРОВОМ ТАЙМЫР ПО ГЕОМАГНИТНЫМ ДАННЫМ

© 2023 г. А. И. Филиппова^{1, 2, *}, С. В. Филиппов^{1, 2, **}

¹Институт земного магнетизма, ионосферы и распространения радиоволн им. Н.В. Пушкова РАН (ИЗМИРАН), Москва, Троицк, Россия ²Институт теории прогноза землетрясений и математической геофизики РАН, Москва, Россия

*e-mail: aleirk@mail.ru **e-mail: sfilip@izmiran.ru Поступила в редакцию 31.10.2022 г. После доработки 07.12.2022 г. Принята к публикации 26.01.2023 г.

В статье представлены результаты исследования теплового режима литосферы под полуостровом Таймыр и сопредельными территориями $(70^{\circ}-80^{\circ} \text{ N}, 80^{\circ}-115^{\circ} \text{ E})$ по геомагнитным данным. Спектральный анализ аномального геомагнитного поля, заданного моделью EMAG2v3, выполнен с помощью метода центроида. Проведенные расчеты показали, что минимальные значения глубины верхней границы литосферных магнитных источников (<2.5 км) характерны для всего Таймырского складчатого пояса и рассматриваемой части Сибирской платформы, максимальные (>6 км) – для Северо-Карского бассейна. Положение верхней границы магнитоактивного слоя литосферы выше подошвы осадочного слоя под Енисей-Хатангским и Хатангско-Ленским бассейнами может быть связано с повсеместным внедрением в осадочный слой базальтовых траппов. Минимальные значения глубины нижней границы литосферных магнитных источников (<36 км) приурочены к Евразийскому бассейну и соседними с ним территориями шельфа моря Лаптевых и островов архипелага Северная Земля, что свидетельствует о наибольшем в пределах рассматриваемого региона прогреве литосферы под ними. Максимальных значений (≥48 км) глубина нижней границы достигает под Енисей-Хатангским, Северо-Карским бассейнами и Сибирской платформой, указывая на существование здесь холодной и, соответственно, мошной литосферы, что подтверждается другими независимыми геофизическими данными.

DOI: 10.31857/S0016794022600600, EDN: PMLOKG

1. ВВЕДЕНИЕ

Корректные оценки литосферных температур необходимы для решения целого ряда фундаментальных и прикладных задач. Так, они применяются для решения спорных вопросов современной геодинамики. Например, пониженные или, наоборот, повышенные температуры в литосфере под рифтовыми системами могут указывать на пассивный или активный характер рифтогенеза [Filippova et al., 2021; Salem et al., 2014]. Информация о современном тепловом режиме также используется в качестве исходных данных для моделирования состояния земных недр в прошлых геологических эпохах (например, см. [Ismail—Zadeh et al., 2013]). С практической точки зрения повышенные значения литосферных температур могут служить для выявления областей, пригодных для использования возобновляемых термальных источников энергии [Hojat et al., 2016; Didas et al., 2022]. Кроме того, температура является существенным фактором, влияющим на процессы нефтегазогенерации [Сорохтин и др., 2015].

Несмотря на то, что определения глубинных температур, полученные из значений поверхностного теплового потока, считаются наиболее прямыми и надежными [Goes et al., 2020], все более популярными становятся методы оценки теплового режима литосферы по геомагнитным данным [Carillo-de la Cruz et al., 2021; Correa et al., 2022; Li et al., 2017; Oliveira et al., 2021; Prasad et al., 2022; Sobh et al., 2021; Tanaka and Ishikawa, 2005; и др.1. Это обусловлено, с одной стороны, отсутствием непосредственных измерений теплового потока или их неравномерным распределением во многих регионах Земли [Fuchs et al., 2021a, b]. С другой стороны, в последнее время был накоплен большой объем данных разновысотных магнитных съемок, включая спутниковые наблюдения, и построены детальные модели аномального

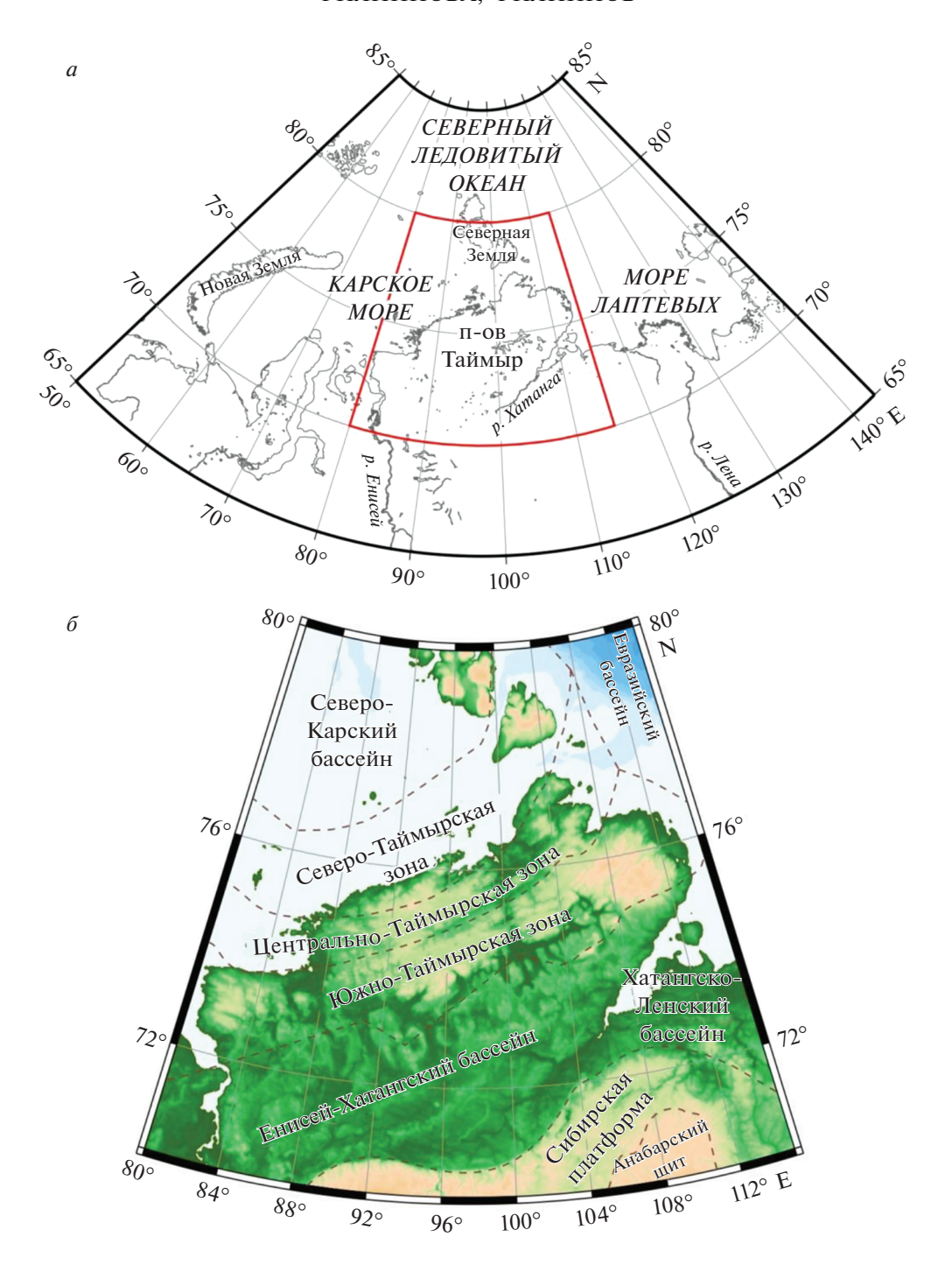


Рис. 1. Положение области исследования (a) и ее тектоническая схема (δ) по [Афанасенков и др., 2016].

геомагнитного поля, в том числе глобальные [Lesur et al., 2016; Maus et al., 2009; Meyer et al., 2017], что позволяет проводить исследования даже в самых удаленных и труднодоступных районах, таких как Арктика и Антарктика [Середкина и Филиппов, 2021; Филиппова и Филиппов, 2022a, б; Gaudreau et al., 2019; Lu et al., 2022; Maule et al., 2005].

Основная задача работы состоит в определении глубины залегания нижней границы литосферных магнитных источников под полуостровом Таймыр и прилегающими к нему территориями (70° – 80° N, 80° – 115° E) (рис. 1a). По этим данным нами оценивается степень прогрева литосферы с учетом того, что полученные значения соответствуют глубинам, на которых достигается температура точки Кюри входящих в состав лито-

сферы магнитных минералов, основным из которых является магнетит [Langel and Hinze, 1998]. Дополнительно проводится анализ глубины залегания верхней границы литосферных магнитных источников. Интерес к этому параметру обусловлен его связью с мощностью осадков, учитывая, что намагниченность осадочных пород пренебрежимо мала по сравнению с намагниченностью пород кристаллического фундамента [Яновский, 1978].

Актуальность работы связана, во-первых, с недостатком измерений поверхностного теплового потока на рассматриваемой территории (см. раздел 3.3) [Fuchs et al., 2021a, b]. Во-вторых, ранее детальных региональных исследований параметров магнитоактивного слоя литосферы для полуострова Таймыр не проводилось. Наконец, имеющиеся глобальные распределения глубины нижней границы литосферных магнитных источников [Gard and Hasterok, 2021; Li et al., 2017] и региональная модель, построенная для всей Арктики [Lu et al., 2022], демонстрируют существенные разногласия, что ранее также отмечалось нами для Балтийского щита и Баренцева моря [Филиппова и Филиппов, 20226]. Так, в работах [Li et al., 2017; Lu et al., 2022], в которых проводится спектральный анализ аномального магнитного поля с учетом фрактального распределения намагниченности в магнитоактивном слое, континентальная часть области исследования характеризуется значениями глубин 10-30 км. В то же время в глобальной модели [Gard and Hasterok, 2021], построенной методом эквивалентных источников магнитных диполей, оценки глубины нижней границы для континента существенно выше (до 50-55 км).

В тектоническом плане большую часть рассматриваемой территории занимает Таймырский складчатый пояс, который традиционно разделяют на три зоны: Северо-Таймырскую, Центрально-Таймырскую и Южно-Таймырскую (рис. 16). Северо-Таймырская зона сложена в основном метаморфическими комплексами, в том числе и кембрийского возраста [Афанасенков и др., 2016]. На западе зоны известны выходы измененных вулканогенных и интрузивных пород островодужной природы, датированных поздним рифеем-ранним вендом [Pease and Persson, 2006]. Центрально-Таймырская зона представлена аккреционными комплексами неопротерозойского возраста, имеющими различную геодинамическую природу [Верниковский, 1996]. Обе эти зоны пронизаны гранитоидами позднепалеозойского возраста [Афанасенков и др., 2016]. В Южно-Таймырской зоне распространен складчатый чехол преимущественно карбонатных осадков, которые отлагались на шельфе Сибирского палеоконтинента от позднего венда до раннего триаса [Самыгин, 2018], и базальтовые траппы нижнего триаса сходные с траппами Сибирской платформы [Верниковский, 1996; Drachev et al., 2010]. Фундамент Южно-Таймырской зоны глубоко погружен и может быть как продолжением фундамента Цетрально-Таймырской зоны, так и продолжением фундамента Сибирской платформы [Афанасенков и др., 2016]. С юга Таймырский складчатый пояс граничит с Енисей-Хатангским и Хатангско-Ленским бассейнами, во многом схожими между собой и имеющими условную границу. Енисей-Хатангский бассейн, заложенный в позднем рифее-раннем палеозое, выделяют в первую очередь по аномально большой мощности юрско-меловых осадков (более 7 км), тогда как в разрезе Хатангско-Ленского бассейна преобладают палеозойские и триасовые отложения [Афанасенков и др., 2016]. Как и для Южно-Таймырской зоны для обоих бассейнов характерно присутствие базальтов раннетриасового возраста [Drachev et al., 2010]. С юга на периферии исследуемой области расположена часть докембрийской Сибирской платформы, частично включая Анабарский щит, с северо-востока — восточная окраина кайнозойского Евразийского бассейна, испытывающего спрединг вдоль оси хребта Гаккеля [Зоненшайн и др., 1990; Drachev et al., 2010]. На северо-западе в пределы рассматриваемой территории также попадает часть малоизученного неопротерозойского Северо-Карского бассейна или Карского массива [Drachev et al., 2010].

2. ДАННЫЕ И МЕТОДЫ

Несмотря на то, что в последние годы появилось довольно много методов определения глубин залегания магнитоактивного слоя литосферы [Gard and Hasterok, 2021; Li et al., 2017; Sobh et al., 2021; Sun et al., 2022; Szwillus et al., 2022], пожалуй, наиболее популярным благодаря простоте использования [Núñez Demarco et al., 2021] остается метод центроида [Okubo et al., 1985; Tanaka et al., 1999]. Существенным преимуществом этого метода, основанного на спектральном анализе аномального геомагнитного поля в предположении случайного распределения намагниченности в слое, является также и то, что он не требует никаких априорных представлений о геологическом строении среды. Ранее на примере профиля, пересекающего Балтийский щит и Баренцево море, нами было показано, что результаты, полученные с помощью метода центроида во многом близки к модели [Gard and Hasterok, 2021] и демонстрируют хорошую согласованность с независимыми геофизическими данными [Филиппова и Филиппов, 2022б]. В связи с вышесказанным, в работе применяется именно этот метод.

Вычисления глубин залегания литосферных магнитных источников под рассматриваемой территорией включали в себя следующие этапы:

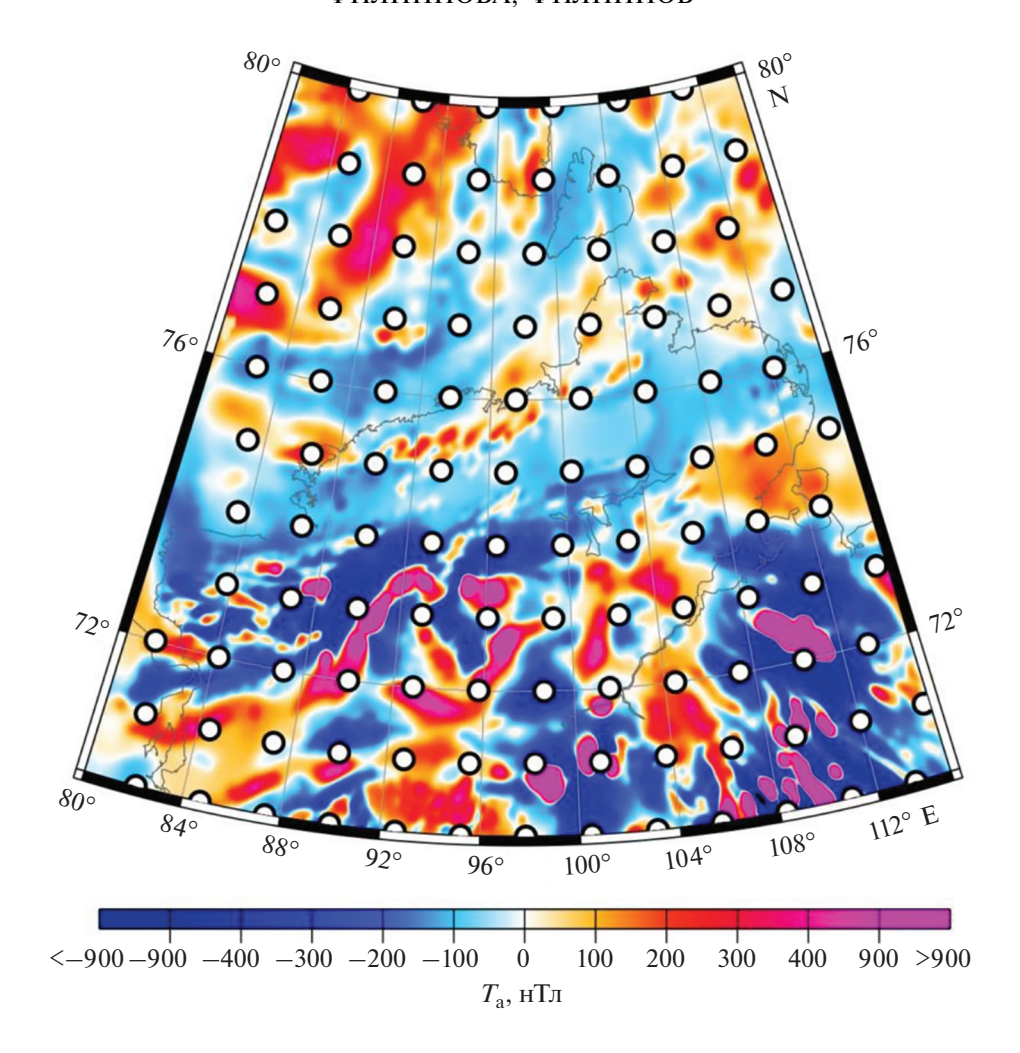


Рис. 2. Модуль полного вектора аномального геомагнитного поля (T_a) на высоте 4 км над уровнем моря согласно модели EMAG2v3 [Meyer et al., 2017]. Кружками обозначены центральные точки блоков 200×200 км, в пределах которых выполнялся спектральный анализ.

- подготовку данных;
- расчет азимутально-усредненных Фурьеспектров мощности аномалий геомагнитного поля;
- определение глубин по полученным спектрам;
- оценку погрешностей определяемых параметров.

Для проведения расчетов была использована наиболее актуальная на текущий момент глобальная модель аномального геомагнитного поля EMAG2v3 [Меуег et al., 2017], имеющая горизонтальное разрешение 2 угловые минуты. Существенным преимуществом этой модели является то, что в отличие от своих предшественников — EMAG2v2 [Maus et al., 2009] и WDMAM 2.0 [Lesur et al., 2016], она основывается только на данных разновысотных магнитных съемок. К ее достоинствам также можно отнести использование спутниковых наблюдений (данные спутника СНАМР),

благодаря которым обеспечивается более надежное выделение нижней границы литосферных магнитных источников [Wen et al., 2019].

Согласно модели EMAG2v3 в пределах рассматриваемой территории модуль полного вектора аномального геомагнитного поля (T_a) на высоте 4 км над уровнем моря изменяется в широких пределах, примерно от -1400 до +8200 нТл, а области, где данные ненадежны или их нет, отсутствуют (рис. 2). При этом распределение положительных и отрицательных аномалий геомагнитного поля не имеет строго упорядоченного характера, как, например, в полосовых магнитных аномалиях в спрединговых океанических бассейнах, что соответствует предположению о случайном распределении намагниченности в магнитоактивном слое, принятом в используемом нами методе центроида [Тапаkа et al., 1999].

Учитывая, что размеры блоков, в которых определяются параметры магнитных источников, долж-

ны от 3 до 10 раз превышать глубину нижней границы этих источников [Hussein et al., 2013; Ravat et al., 2007], данные модели EMAG2v3 выбирались в квадратных блоках с размерами 200 км (по широте) × 200 км (по долготе). Для увеличения горизонтального разрешения результатов блоки выбирались с перекрытием: перекрытие между соседними блоками по широте составляло 1°, по долготе — 100 км. Всего, таким образом, было выделено 108 блоков, центральные точки которых показаны на рис. 2. Чтобы избежать потери информации о глубинах залегания магнитоактивного слоя, фильтрация данных и их приведение к полюсу не проводилось [Núñez Demarco et al., 2021].

На втором этапе в каждом из выделенных блоков 200×200 км был выполнен спектральный анализ с помощью программы Fourpot 1.3b [Pirttijärvi, 2015]. Сначала вычислялся двумерный Фурье-спектр аномалий геомагнитного поля, зависящий от $k_{\rm x}$ и $k_{\rm y}$ — проекций волнового числа по осям ${\bf x}$ и ${\bf y}$ в горизонтальной плоскости. Затем двумерный спектр усреднялся по азимуту, и осуществлялся переход к азимутально-усредненному спектру мощности аномалий геомагнитного поля, зависящему от модуля волнового числа в горизонтальной плоскости ($|k| = \sqrt{k_{\rm x}^2 + k_{\rm y}^2}$).

На третьем этапе проводилось определение глубин залегания литосферных магнитных источников методом центроида [Okubo et al., 1985; Tanaka et al., 1999]. Описание метода также приведено в наших прошлых работах [Середкина и Филиппов, 2021; Филиппова и Филиппов, 20226]. Глубина центра масс (Z_0) вычислялась по наклону логарифма отношения азимутально-усредненного спектра мощности аномалий геомагнитного поля к модулю волнового числа в горизонтальной плоскости. Для этого в диапазоне волновых чисел от максимума спектра, то есть примерно от 0 рад/км, до 0.05 рад/км выбирался участок спектра с наклоном близким к линейному [Núñez Demarco et al., 2021]. Для большей части рассматриваемой территории анализировался весь указанный диапазон волновых чисел, и лишь в некоторых блоках, для которых в результате были получены максимальные мощности магнитоактивного слоя литосферы, линейность наклона спектра соблюдалась в более узком диапазоне волновых чисел примерно до 0.04 рад/км. Глубина верхней границы литосферных магнитных источников (Z_t) оценивалась по наклону линейного участка логарифма спектра в интервале волновых чисел от 0.2 до 0.5 рад/км [Núñez Demarco et al., 2021]. Глубина нижней границы ($Z_{\rm b}$) рассчитывалась по полученным значениям Z_0 и $Z_{\rm t}$ исходя из соотношения: $Z_{\rm b} = 2Z_0 - Z_{\rm t}$ [Tanaka et al., 1999].

На заключительном этапе погрешности определения глубин Z_0 и $Z_{\rm t}$ рассчитывались как отношение среднеквадратичного отклонения линейной аппроксимации от наблюденного спектра к разнице верхней и нижней границ диапазона волновых чисел, в котором определялись искомые параметры [Okubo and Matsunaga, 1994; Salazar et al., 2017]. В результате было получено, что погрешности вычислений глубин Z_0 и Z_t лежат в диапазонах 0.3-2.9 и 0.1-2.0 км соответственно. Среднее значение погрешности для Z_0 составляет около 1.7 км, для $Z_t - 0.5$ км. Погрешность вычисления глубины $Z_{\rm b}$ изменяется от 0.6 до 5.0 км, со средним значением ~2.5 км. Распределения погрешностей носят случайный характер, как и в наших прелыдущих исследованиях Восточно-Сибирского моря [Филиппова и Филиппов, 2022а]. Отметим, что полученные оценки погрешностей не учитывают ошибок исходных данных. Проведенные ранее синтетические тесты показывают, что добавление случайного шума с амплитудой ±167 нТл. соответствующего ошибкам EMAG2v3 для рассматриваемой территории [Meyer et al., 2017], практически не сказывается на значениях глубин центра масс и нижней границы магнитных источников, но может существенно (до 1–2 км) искажать значения глубины верхней границы [Середкина, Филиппов, 2021].

3. РЕЗУЛЬТАТЫ И ОБСУЖДЕНИЕ

3.1. Глубина верхней границы

Результаты расчетов глубины верхней границы литосферных магнитных источников представлены на рис. За. Максимальных значений (>6 км) данный параметр достигает под Северо-Карским бассейном. Тот факт, что максимум глубины $Z_{\rm t}$ также частично распространяется под архипелаг Северная Земля, наиболее вероятно, связан с горизонтальным разрешением полученного распределения. Из рис. 2 видно, что рассматриваемые нами окна 200 × 200 км с центральными точками на севере архипелага частично затрагивают прилегающие территории Северо-Карского бассейна. Существенно меньшими глубинами Z_t (3.5— 4.5 км) характеризуется Евразийский бассейн. На континенте заглубление верхней границы литосферных магнитных источников до 4-6 км наблюдается под Енисей-Хатангским бассейном. При этом Хатангско-Ленский бассейн практически не проявлен, глубина $Z_{\rm t}$ практически везде под ним составляет не более 2 км, за исключением небольшой локальной области под Хатангским заливом, где она увеличивается до 3.5 км. Практически под всем Таймырским складчатым поясом, включая прибрежные районы Карского моря, значения Z_t изменяются в узком диапазоне примерно от 1.5 до 2.5 км. Поскольку средняя

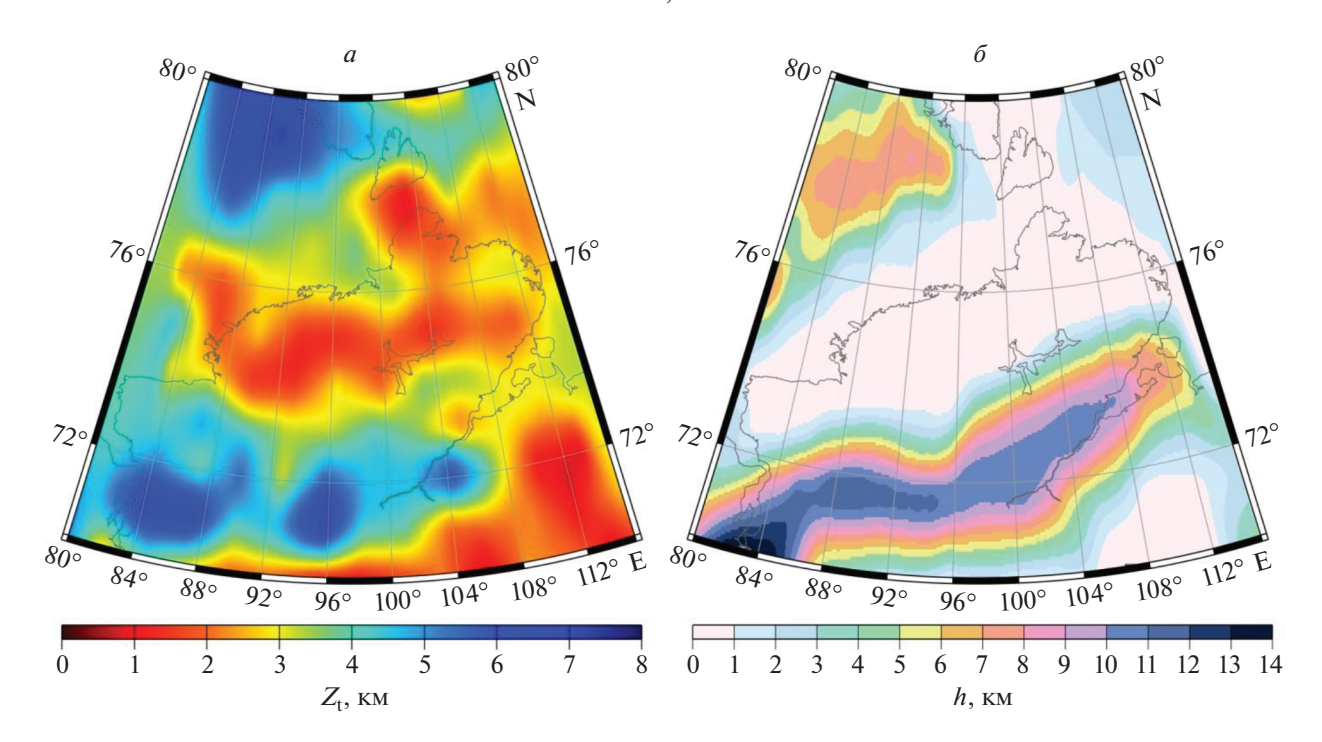


Рис. 3. Глубина верхней границы литосферных магнитных источников, полученная в данной работе (a), и мощность осадочного слоя согласно модели CRUST 1.0 [Laske et al., 2013] (δ).

ошибка вычислений этого параметра составляет 0.5 км и он демонстрирует сильную зависимость от погрешностей исходных данных [Середкина и Филиппов, 2021], локальные вариации глубины для этой территории можно считать несущественными. То же самое относится к рассматриваемой нами части Сибирской платформы, под которой глубина верхней границы литосферных магнитных источников составляет около 1.5 км.

Распределение мощности осадков под рассматриваемой территорией согласно глобальной модели CRUST 1.0 [Laske et al., 2013] представлено на рис. 36, и его основные особенности сводятся к следующему. Осадочный слой утонен (<1 км) или полностью отсутствует под Анабарским щитом Сибирской платформы и практически повсеместно в пределах Таймырского складчатого пояса [Gramberg et al., 1999; Laske et al., 2013]. Cyщественно большая толщина осадочного слоя, достигающая 6 км, предполагается в модели Sib-CRUST [Cherepanova et al., 2013] для центральной части Южно-Таймырской зоны. Такое расхождение, скорее всего, вызвано недостатком исходных сейсмических данных для рассматриваемой территории. Вероятно, той же причиной обусловлены и расхождения в значениях мощности под Енисей-Хатангским и Хатангско-Ленским бассейнами. Так, в модели SibCRUST мощность осадков под ними увеличивается в западном направлении от 5 до 9 км, причем под Енисей-Хатангским бассейном области с максимальной мощностью расположены в центральной и западной частях бассейна и разделены между собой узкой полосой с утоненным слоем осадков. В модели CRUST1.0 Енисей-Хатангский бассейн напротив представлен в виде единой области, а сами значения мощности под ним намного выше от 10 км на востоке до 14 км на западе бассейна (рис. 36). Близкие максимальные значения мощности осадков (до 14 км) под Енисей-Хатангским бассейном получены в работе [Gramberg et al., 1999] по гравиметрическим данным, однако, как и в модели SibCRUST в ней прослеживается два разделенных между собой локальных максимума, что подтверждается полученными нами данными (рис. 3а). Под рассматриваемой частью Евразийского бассейна толшина осадочного слоя не превышает 2–3 км [Gramberg et al., 1999; Laske et al., 2013], а под Северо-Карским бассейном достигает по различным данным 8 [Laske et al., 2013] или даже 14 км [Gramberg et al., 1999].

Принимая во внимание различное горизонтальное разрешение сейсмических моделей коры и полученного распределения глубины верхней границы литосферных магнитных источников, а также их погрешности, можно сделать вывод о том, что наши результаты хорошо согласуются с имеющимися данными о мощности осадков (рис. 3). Особенно хорошо это выполняется для Сибирской платформы, Таймырского складчатого пояса и прилегающих к нему с севера территорий. Существенные различия между глубиной $Z_{\rm t}$

и толщиной осадочного слоя наблюдаются только для Енисей-Хатангского и Хатангско-Ленского бассейнов. Для них значения Z_t , не превышающие 6.5 км, почти в 1.5–2.0 раза ниже известных оценок мощности осадков [Cherepanova et al., 2013: Gramberg et al., 1999: Laske et al., 2013]. Скорее всего, это связано с внедрением в осадочный слой под обоими бассейнами базальтовых траппов триасового возраста [Drachev et al., 2010]. Интересно, что оба бассейна практически не выделяются на распределениях групповых скоростей волн Рэлея на периоде 20 с, на котором они чувствительны к скоростям S-волн до глубины примерно 35 км с максимумом чувствительности на глубине 20 км [Ritzwoller and Levshin, 1998]. Так, в моделях [Середкина, 2019; Levshin et al., 2001; Seredkina, 2019], построенных различными методами по независимым наборам данных, скорости поверхностных волн под бассейнами практически не отличаются от скоростей под соседними структурами. Понижение групповых скоростей, свидетельствующее о существенном увеличении толщины осадков, наблюдается лишь на западе Енисей-Хатангского бассейна. Наиболее вероятно, слабая выраженность осадочного чехла в этих моделях обусловлена высокими скоростями S-волн на глубинах 30 км и более, о чем свидетельствуют, например, данные [Lebedev et al., 2017]. При этом минимум групповых скоростей волн Рэлея хорошо прослеживается под Северо-Карским бассейном, подтверждая наши результаты.

3.2. Глубина нижней границы

Полученные нами значения глубины нижней границы литосферных магнитных источников (Z_b) под рассматриваемой территорией изменяются от 30 до 54 км (рис. 4). Минимальные значения глубин (<36 км) приурочены к Евразийскому бассейну и соседними с ним территориями шельфа моря Лаптевых и островов архипелага Северная Земля. Относительно неглубокое положение нижней границы магнитоактивного слоя литосферы (~36 км) также характерно для Хатангско-Ленского бассейна. Третий по значимости минимум глубины Z_b , в котором она уменьшается до 38 км, наблюдается на западе Южно-Таймырской зоны, а в центре этой зоны $Z_{\rm b}$ заглубляется до 48 км. Для Центрально-Таймырской и Северо-Таймырской зон в пределах полуострова глубина $Z_{\rm b}$ составляет 40-44 км, в то же время как части этих зон, расположенные в Карском море, характеризуются глубинами 46–48 км, как и расположенный к северу от них Северо-Карский бассейн. Максимальных значений (50-55 км) $Z_{\rm b}$ достигает практически повсеместно под Енисей-Хатангским бассейном. Несколько меньшие значения глубины — около 48 км с локальными минимумами до 42 км — на-

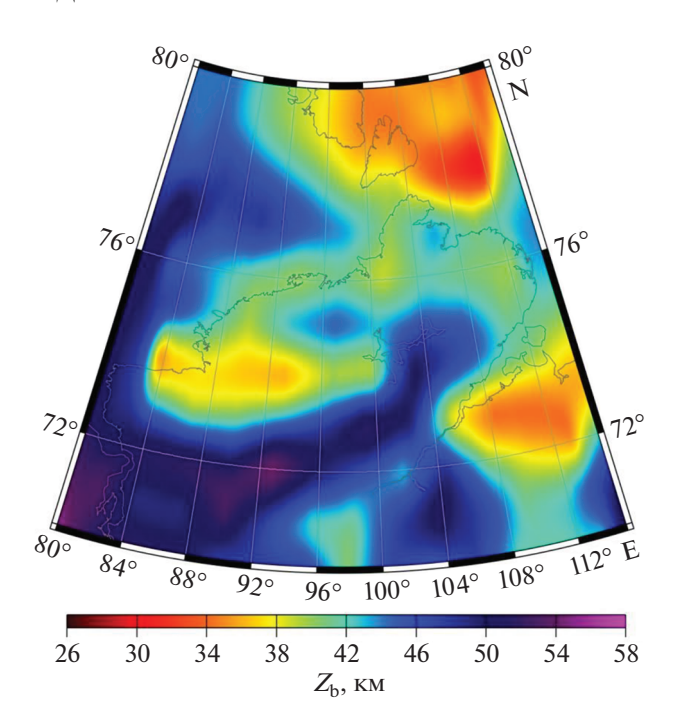


Рис. 4. Глубина нижней границы литосферных магнитных источников.

блюдаются под рассматриваемой частью Сибирской платформы.

Отметим, что, как и для Восточно-Сибирского моря [Филиппова и Филиппов, 2022а], полученное нами распределение глубины центра масс литосферных магнитных источников (Z_0) идентично распределению глубины нижней границы, представленному на рис. 4, поэтому отдельно не приводится. Схожесть распределений является следствием того, что $Z_0 \gg Z_{\rm t}$ и соотношения для $Z_{\rm b}$, принятого в методе центроида ($Z_{\rm b}=2Z_0-Z_{\rm t}$) [Tanaka et al., 1999]. Сами глубины Z_0 для рассматриваемой территории изменяются от 16 км под Евразийским бассейном и прилегающими к нему территориями шельфа моря Лаптевых до 29 км под Енисей-Хатангским бассейном. Те же тенденции в распределении и близкие значения этого параметра получены также в глобальной модели [Tanaka, 2017], построенной для блоков с размерами около 300 × 300 км с использованием метода центроида по данным модели WDMAM 2.0 [Lesur et al., 2016].

Сопоставление полученных нами результатов (рис. 4) с моделями [Gard and Hasterok, 2021; Li et al., 2017; Lu et al., 2022] показывает, что все рассматриваемые распределения характеризуются глубоким положением нижней границы литосферных магнитных источников — до $48-50\ \mathrm{km}$ — под Северо-Карским бассейном. Также однозначно выделяется минимум глубины под Евразийским бассейном, для которого значения Z_{b} составляют

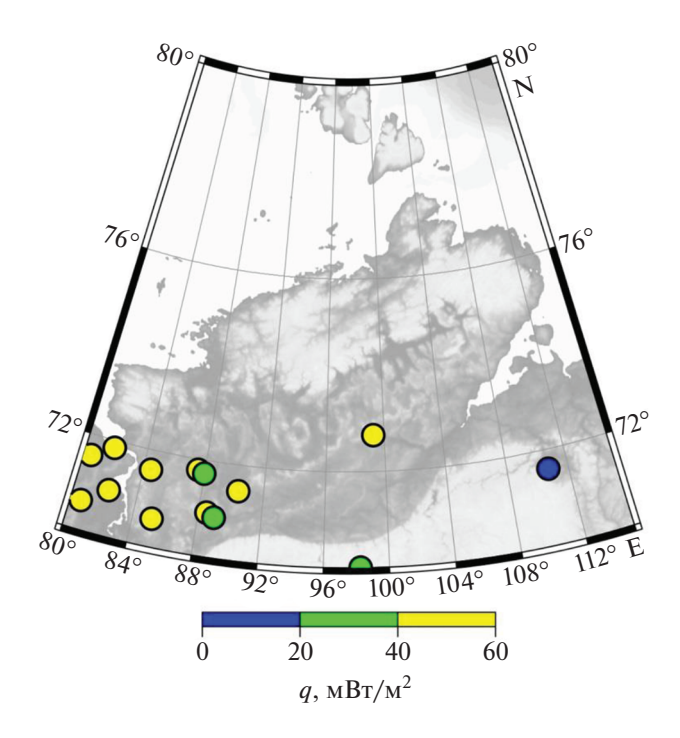


Рис. 5. Поверхностный тепловой поток исследуемой территории [Fuchs et al., 2021a].

от 20-30 км согласно [Li et al., 2017; Lu et al., 2022] до 25–35 км согласно [Gard and Hasterok, 2021] и данной работе. В пределах континентальной части исследуемой территории разногласия между различными моделями становятся более выраженными. Под Таймыром вариации глубины, проявленные в поднятии Z_b на западе полуострова, не прослеживаются лишь в глобальном распределении [Li et al., 2017], вероятно, из-за недостаточного горизонтального разрешения. Однако сами значения глубин по разным источникам изменяются в довольно широких пределах — от 20— 25 [Li et al., 2017] до 30-40 [Gard and Hasterok, 2021] или даже 30-45 км [Lu et al., 2022]. Оценки двух последних работ наиболее близки к нашим результатам (рис. 4). Наибольшие различия в глубинах литосферных магнитных источников наблюдаются под Енисей-Хатангским и Хатангско-Ленским бассейнами. Здесь, как уже упоминалось во введении, значения глубин $Z_{\rm b}$ в моделях [Li et al., 2017; Lu et al., 2022] существенно меньше (10–25 км), чем в работе [Gard and Hasterok, 2021], в которой $Z_{\rm b}$ доходит до 50—55 км, что в целом согласуется с нашими результатами, хотя сам максимум глубины по нашим данным расположен западнее и практически не захватывает Хатангско-Ленский бассейн.

Указанные разногласия частично могут являться следствием использования различных исходных данных. Так, в [Li et al., 2017] аномальное

геомагнитное поле задавалось моделью EMAG2v2 [Maus et al., 2009], в [Gard and Hasterok, 2021] для этого брались сферические гармоники 16-100 степени модели LCS-1 [Olsen et al., 2017], а распределение [Lu et al., 2022] построено на основе компиляции данных геомагнитных съемок для Арктики из работы [Gaina et al., 2011]. Другая причина выявленных несоответствий заключается в применении различных методов инверсии. Модели [Li et al., 2017; Lu et al., 2022] были получены на основе анализа спектров аномального геомагнитного поля с учетом фрактального характера распределения намагниченности в магнитоактивном слое с единым фиксированным значением фрактального параметра В. Этот параметр существенно зависит от геологического строения исследуемой области [Bouligand et al., 2009], следовательно, использование единого значения В для регионов, состоящих из различных тектонических структур, может приводить к ошибкам в оценках глубин залегания литосферных магнитных источников и различиям с другими моделями. При этом отметим, что распределения $Z_{\rm b}$, полученные методом центроида в данной работе и методом эквивалентных источников магнитных диполей в [Gard and Hasterok, 2021], во многом схожи между собой.

3.3. Тепловой режим литосферы

Принимая, что основным магнитным минералом в литосфере является магнетит, полученное распределение глубины нижней границы литосферных магнитных источников (рис. 4) может быть отождествлено с глубиной изотермы 578°С, что соответствует температуре точки Кюри магнетита [Langel and Hinze, 1998]. Следовательно, наши результаты свидетельствуют, что в пределах рассматриваемого региона литосфера наиболее прогрета под Евразийским бассейном и соседними с ним территориями шельфа моря Лаптевых, а наиболее холодной и, соответственно, мощной литосферой характеризуются Северо-Карский, Енисей-Хатангский бассейны и Сибирская платформа.

Количество непосредственных измерений поверхностного теплового потока для исследуемой области очень мало — всего 15 значений по наиболее современной глобальной базе данных [Fuchs et al., 2021 а] (рис. 5). При этом все пункты расположены весьма неравномерно южнее 73° N, а погрешности измерений неизвестны. Значения потока изменяются от 18 до 55 мВт/м², а в близких пунктах могут отличаться друг от друга до 16 мВт/м². Таким образом, имеющиеся данные о поверхностном тепловом потоке, к сожалению, не позволяют верифицировать наши результаты.

Основные тенденции теплового режима литосферы, выявленные нами для океанической части рассматриваемой территории, хорошо прослеживаются в температурных моделях, основанных на данных сейсмической томографии [Cammarano and Guerri, 2017; Lebedev et al., 2017; Priestley et al., 2019]. Так, средние температуры в интервале глубин 80-150 км составляют 1200-1400°C под Евразийским бассейном, в то время как под Северо-Карским бассейном значения температур не превышают 800-1000°С [Lebedev et al., 2017]. Полуостров Таймыр характеризуется промежуточными относительно соседних структур значениями температур во всех упомянутых работах, а вариации температуры под полуостровом не выделяются, что связано с невысоким горизонтальным разрешением исходных данных сейсмотомографии. Практически единое значение глубины изотермы 550°C, равное примерно 35 км, приводится для полуострова в температурной модели ТС1, построенной, в основном, по данным поверхностного теплового потока с учетом информации о возрасте рассматриваемых тектонических структур [Artemieva, 2006]. Это неплохо согласуется с нашими результатами (рис. 4), учитывая, что для областей с относительно холодной литосферой температурные градиенты на глубине малы [Filippova et al., 2021].

Для юга рассматриваемой территории имеющиеся данные о распределении глубинных температур более противоречивы. Например, в модели [Lebedev et al., 2017] Енисей-Хатангский и Хатангско-Ленский бассейны, также как примыкающая к ним часть Сибирской платформы характеризуются средними температурами 1000— 1100°C, т.е. не выделяются относительно Таймырского полуострова. В то же время, по всем остальным данным под этой областью прослеживается минимум температур. В работах [Artemieva, 2006; Cammarano and Guerri, 2017] он наиболее выражен под Анабарским щитом Сибирской платформы, а в распределении [Priestley et al., 2019] дополнительно присутствует второй минимум значений температуры под Енисей-Хатангским бассейном, что наиболее близко к нашим результатам (рис. 4). Отметим, что абсолютные значения минимальных температур в различных моделях существенно отличаются между собой. Вероятно, заниженные температуры для этой территории дает модель TC1 [Artemieva, 2006], что приводит к большим (до 30 км) расхождениям глубины изотермы 550°C, приведенной в этой модели, с нашими данными и распределением [Gard and Hasterok, 2021]. Также следствием занижения глубинных температур может быть расхождение в термических мощностях литосферы (до 50–100 км) согласно ТС1 и данным сейсмической томографии (для сравнения см. [Artemieva, 2009]).

4. ВЫВОДЫ

В данной работе для полуострова Таймыр и сопредельных территорий $(70^{\circ}-80^{\circ}\ N,\ 80^{\circ}-115^{\circ}\ E)$ выполнен спектральный анализ аномального геомагнитного поля, заданного глобальной моделью EMAG2v3. На основании полученных результатов оценена степень прогрева литосферы под рассматриваемым регионом и сделаны следующие выволы.

- 1. Минимальные значения глубины верхней границы литосферных магнитных источников ($<2.5\,$ км) характерны для всего Таймырского складчатого пояса и рассматриваемой части Сибирской платформы, максимальные ($>6\,$ км) для Северо-Карского бассейна. Под Енисей-Хатангским и Хатангско-Ленским бассейнами верхняя граница ($Z_{\rm t\ max}=6.5\,$ км) расположена существенно выше подошвы осадочного слоя ($10-14\,$ км), что может быть связано с повсеместным внедрением базальтовых траппов в осадочный слой.
- 2. Минимальные значения глубины нижней границы литосферных магнитных источников (<36 км) приурочены к Евразийскому бассейну и соседними с ним территориями шельфа моря Лаптевых и островов архипелага Северная Земля. Максимальных значений (>48 км) этот параметр достигает под Енисей-Хатангским и Северо-Карским бассейнами. Под Таймыром прослеживается увеличение глубины от 38 до 48 км в восточном направлении.
- 3. В пределах рассматриваемого региона литосфера наиболее прогрета под Евразийским бассейном и соседними с ним территориями шельфа моря Лаптевых, а наиболее холодной и, соответственно, мощной литосферой характеризуются Северо-Карский, Енисей-Хатангский бассейны и Сибирская платформа, что подтверждается независимыми геофизическими данными.

ФИНАНСИРОВАНИЕ РАБОТЫ

Работа выполнена при поддержке Российского научного фонда, грант № 21-77-10070.

СПИСОК ЛИТЕРАТУРЫ

- Афанасенков А.П., Никишин А.М., Унгер А.В., Бордунов С.И., Луговая О.В., Чикишев А.А., Яковишина Е.В. Тектоника и этапы геологической истории Енисей-Хатангского бассейна и сопряженного Таймырского орогена // Геотектоника. № 2. С. 23—42. 2016. https://doi.org/10.7868/S0016853X16020028
- *Верниковский В.А.* Геодинамическая эволюция Таймырской складчатой области. Новосибирск: Изд-во СО РАН, 203 с. 1996.
- Зоненшайн Л.П., Кузьмин М.И., Натапов Л.М. Тектоника литосферных плит территории СССР. М.: Недра. Кн. 2. 334 с. 1990.

— Самыгин С. Γ . Особенности строения и геодинамической эволюции Таймыра в неопротерозое // Литосфера. Т. 18. № 1. С. 5—19. 2018.

https://doi.org/10.24930/1681-9004-2018-18-1-005-019

— *Середкина А.И.* Поверхностно-волновая томография Арктики по данным дисперсии групповых скоростей волн Рэлея и Лява // Физика Земли. № 3. С. 58–70. 2019

https://doi.org/10.31857/S0002-33372019358-70

— Середкина А.И., Филиппов С.В. Глубины залегания магнитных источников в Арктике и их связь с параметрами литосферы // Геология и геофизика. Т. 62. № 7. С. 902—916. 2021.

https://doi.org/10.15372/GiG2020162

- Сорохтин Н.О., Лобковский Л.И., Никифоров С.И. Козлов Н.Е. Геодинамическая эволюция нефтегазоносных бассейнов Карско-Баренцевоморского шельфа России // Арктика: экология и экономика. Т. 18. № 2. С. 14—25, 2015.
- Филиппова А.И., Филиппов С.В. Глубины залегания литосферных магнитных источников и тепловой режим литосферы под Восточно-Сибирским морем // Физика Земли. № 4. С. 71—84. 2022а.
- https://doi.org/10.31857/S0002333722040032 Филиппова А.И., Филиппов С.В. Глубины залегания
- *Филиппова А.И.*, *Филиппов С.В.* Глуоины залегания литосферных магнитных источников вдоль профиля "Ковдор—ГСЗ-76" (Балтийский щит Баренцево море) // Геомагнетизм и Аэрономия. Т. 62. № 6. С. 781—792. 20226.

https://doi.org/10.31857/S0016794022060049

- Яновский Б.М. Земной магнетизм. Л.: Ленинградский университет, 592 с. 1978.
- Artemieva I.M. Global 1° × 1° thermal model TC1 for the continental lithosphere: Implications for lithosphere secular evolution // Tectonophysics. V. 416. P. 245–277. 2006. https://doi.org/10.1016/j.tecto.2005.11.022
- Artemieva I.M. The continental lithosphere: reconciling thermal, seismic, and petrologic data // Lithos. V. 109. P. 23–46. 2009.

https://doi.org/10.1016/j.lithos.2008.09.015

- Bouligand C., Glen J.M.G., Blakely J. Mapping Curie temperature depth in the western United States with a fractal model for crustal magnetization // J. Geophys. Res. V. 114. B11104. 2009.

https://doi.org/10.1029/2009JB006494

- Cammarano F., Guerri M. Global thermal models of the lithosphere // Geophys. J. Int. V. 210. P. 56–72. 2017. https://doi.org/10.1093/gji/ggx144
- Carillo-de la Cruz J.L., Prol-Ledesma R.M., Gabriel G. Geostatistical mapping of the depth to the bottom of magnetic sources and heat flow estimations in Mexico // Geothermics. V. 97. 102225. 2021.

https://doi.org/10.1016/j.geothermics.2021.102225

- Cherepanova Y., Artemieva I.M., Thybo H., Chemia Z. Crustal structure of the Siberian Craton and the West Siberian Basin: an appraisal of existing data // Tectonophysics. V. 609. P. 154–183. 2013.

https://doi.org/10.1016/j.tecto.2013.05.004

- Correa R.T., Vidotti R.M., Guedes V.J.C.B., Scandolara J.E. Mapping the Thermal Structure of the Amazon Craton to

Constrain the Tectonic Domains // J. Geophys. Res.: Solid Earth. V. 127. № 1. e2021JB023025. 2022. https://doi.org/10.1029/2021JB023025

- Didas M.M., Armadillo E., Hersis G.P., Cumming W., Rizello D. Regional thermal anomalies derived from magnetic spectral analysis and 3D gravity inversion: implications for potential geothermal sites in Tanzania // Geothermics. V. 103. 102431. 2022.

https://doi.org/10.1016/j.geothermics.2022.102431

- Drachev S.S., Malyshev N.A., Nikishin A.M. Tectonic history and petroleum geology of the Russian Arctic Shelves: an overview / Petroleum geology: from mature basins to new frontiers Proc. 7th Petroleum Geology Conference. Geological Society, London, P. 591–619. 2010. https://doi.org/10.1144/0070591
- *Filippova A.I.*, *Golubev V.A.*, *Filippov S.V.* Curie point depth and thermal state of the lithosphere beneath the northeastern flank of the Baikal rift zone and adjacent areas // Surv. Geophys. V. 42. № 5. P. 1143—1170. 2021. https://doi.org/10.1007/s10712-021-09651-7
- Fuchs S.; Norden B., Artemieva I. et al. The Global Heat Flow Data-base: Release 2021. GFZ Data Services. 2021a. https://doi.org/10.5880/fidgeo.2021.014
- Fuchs S., Beardsmore G., Chiozzi P. et al. A new database structure for the IHFC Global Heat Flow Database // International Journal of Terrestrial Heat Flow and Applied Geothermics. V. 4. № 1. P. 1–14. 2021b. https://doi.org/10.31214/ijthfa.v4i1.62
- Gaina C., Werner S.C., Saltus R. et al. Circum-Arctic mapping project: new magnetic and gravity anomaly maps of the Arctic // Geol. Soc. Lond. Mem. V. 35. P. 39–48. 2011.

https://doi.org/10.1144/M35.3

- Gard M., Hasterok D. A global Curie depth model utilizing the equivalent source magnetic dipole method // Phys. Earth Planet. Inter. V. 313. 106672. 2021. https://doi.org/10.1016/j.pepi.2021.106672
- Gaudreau É., Audet P., Schneider D.A. Mapping Curie depth across western Canada from a wavelet analysis of magnetic anomaly data // J. Geophys. Res.: Solid Earth. V. 124. P. 4365–4385. 2019.

https://doi.org/10.1029/2018JB016726

- Goes S., Hasterok D., Schutt D.K., Klöcking M. Continental lithospheric temperatures: a review // Phys. Earth Planet. Inter. V. 306. 106509. 2020.

https://doi.org/10.1016/j.pepi.2020.106509

- Gramberg I.S., Verba V.V., Verba M.L., Kos'ko M.K. Sedimentary cover thickness map sedimentary basins in the Arctic // Polarforschung. V. 69. P. 243–249. 1999.
- Hojat A., Maule C.F., Singh H.K. Reconnaissance exploration of potential geothermal sites in Kerman province, using Curie depth calculations // Journal of the Earth and Space Physics. V. 41. № 4. P. 95–104. 2016. https://doi.org/10.22059/JESPHYS.2015.57226
- *Hussein M., Mickus K., Serpa L.F.* Curie point depth estimates from aeromagnetic data from Death Valley and surrounding regions, California // Pure Appl. Geophys. V. 170. P. 617–632. 2013.

https://doi.org/10.1007/s00024-012-0557-6

- Ismail-Zadeh A., Honda S. Tsepelev I. Linking mantle upwelling with the lithosphere descent and the Japan Sea evolution: a hypothesis // Sci. Rep. V. 3. 1137. 2013. https://doi.org/10.1038/srep01137
- *Langel R.A.*, *Hinze W.J.* The magnetic field of the Earth's lithosphere. Cambridge University, Cambridge, UK. 450 p. 1998.
- Laske G., Masters G., Ma Z., Pasyanos M. Update on CRUST1.0 A 1-degree global model of Earth's crust / Abstracts European Geoscience Union General Assembly. Vienna, Austria, 7–12 April, 2013. № EGU2013-2658. 2013.
- Lebedev S., Schaeffer A.J., Fullea J., Pease V. Seismic tomography of the Arctic region: inferences for the thermal structure and evolution of the lithosphere / Circum-Arctic lithosphere evolution / Geological Society, London, UK, Special Publications. V. 460. P. 419—440. 2017. https://doi.org/10.1144/SP460.10
- Lesur V., Hamoudi M., Choi Y., Dyment J., Thébault E.
 Building the second version of the World Digital Magnetic
 Anomaly Map (WDMAM) // Earth Planets Space. V. 68.
 № 1. P. 1–13. 2016.

https://doi.org/10.1186/s40623-016-0404-6

- Levshin A.L., Ritzwoller M.H., Barmin M.P., Villasenor A., Padgett C.A. New constraints on the arctic crust and uppermost mantle: surface wave group velocities, Pn, and Sn // Phys. Earth Planet. Inter. V. 123. P. 185–204. 2001. https://doi.org/10.1016/S0031-9201(00)00209-0
- Li C.-F., Lu Y., Wang J. A global reference model of Curie-point depths based on EMAG2 // Sci. Rep. V. 7. 45129. 2017.

https://doi.org/10.1038/srep45129

- Lu Y., Li C.-F., Wang J., Wan X. Arctic geothermal structures inferred from Curie-point depths and their geodynamic implications // Tectonophysics. V. 822. 229158. 2022. https://doi.org/10.1016/j.tecto.2021.229158
- Maule C.F., Purucker M.E., Olsen N., Mosegaard K. Heat flux anomalies in Antarctica revealed by satellite magnetic data // Science. V. 309. P. 464–467. 2005. https://doi.org/10.1126/science.1106888
- Maus, S., Barckhausen U., Berkenbosch H. et al. EMAG2:
 A 2-arc-minute resolution Earth Magnetic Anomaly Grid compiled from satellite, airborne and marine magnetic measurements // Geochem. Geophys. Geosyst. V. 10. Q08005. 2009.

https://doi.org/10.1029/2009GC002471

- Meyer B., Chulliat A., Saltus R. Derivation and error analysis of the earth magnetic anomaly grid at 2 arc min resolution version 3 (EMAG2v3) // Geochem. Geophys. Geosyst. V. 18. P. 4522–4537. 2017.
- https://doi.org/10.1002/2017GC007280
- Núñez Demarco P., Prezzi C., Sánchez Bettucci L. Review of Curie point depth determination through different spectral methods applied to magnetic data // Geophys. J. Int. V. 224. № 1. P. 17–39. 2021.

https://doi.org/10.1093/gji/ggaa361

- Okubo Y., Graf R.J., Hansen R.O., Ogawa K., Tsu H. Curie point depths of the island of Kyushu and surrounding areas, Japan // Geophysics. V. 50. P. 481–494. 1985.

- Okubo Y., Matsunaga T. Curie point depth in northeast Japan and its correlation with regional thermal structure and seismicity // J. Geophys. Res. V. 99. № B11. P. 22363—22371. 1994.
- Oliveira J.T.C., Barbosa J.A., de Castro D.L., de Barros Correia P., Magalhães J.R.C., Filho O.J.C., Buarque B.V. Precambrian tectonic inheritance control of the NE Brazilian continental margin revealed by Curie point depth estimation // Annals. Geophys. V. 64. № 2. GT213. 2021. https://doi.org/10.4401/ag-8424
- Olsen N., Ravat D., Finlay C.C., Kother L.K. LCS-1: a high-resolution global model of the lithospheric magnetic field derived from CHAMP and Swarm satellite observations // Geophys. J. Int. V. 211. P. 1461—1477. 2017. https://doi.org/10.1093/gji/ggx381
- Pease V., Persson S. Neoproterozoic island arc magmatism of northern Taimyr / Proc. Fourth International Conference on Arctic Margins. Anchorage, P. 31–49, 2006.
- *Pirttijärvi M.* 2D Fourier domain operations, FOURPOT program. https://wiki.oulu.fi/x/0oU7AQ/. 2015.
- Prasad K.N.D., Bansal A.R., Prakash Om, Singh A.P.
 Magneto-thermometric modeling of Central India: Implications for the thermal lithosphere // J. Applied Geophysics. V. 196. 104508. 2022.

https://doi.org/10.1016/j.jappgeo.2021.104508

- Priestley K., McKenzie D., Ho T. A lithosphere-asthenosphere boundary – a global model derived from multimode surface-wave tomography and petrology / Lithospheric Discontinuities (eds. H. Yuan and B. Romanowicz) / AGU, Geophysical Monograph Series. Chapter 6. P. 111–123. 2019.

https://doi.org/10.1002/9781119249740.ch6

- Ravat D., Pignatelli A., Nicolosi I., Chiappini M. A study of spectral methods of estimating the depth to the bottom of magnetic sources from near-surface magnetic anomaly data // Geophys. J. Int. V. 169. P. 421–434. 2007. https://doi.org/10.1111/j.1365-246X.2007.03305.x
- Ritzwoller M.H., Levshin A.L. Eurasian surface wave tomography: group velocities // J. Geophys. Res. V. 103. No B3. P. 4839–4878. 1998. https://doi.org/10.1029/97JB02622
- Salazar J.M., Vargas C.A., Leon H. Curie point depth in the SW Caribbean using the radially averaged spectra of magnetic anomalies // Tectonophysics. V. 694. P. 400–413. 2017.

https://doi.org/10.1016/j.tecto.2016.11.023

- Salem A., Green C., Ravat D., Singh K.H., East P., Fairhead J.D., Morgen S., Biegert E. Depth to Curie temperature across the central Red Sea from magnetic data using the defractal method // Tectonophysics. V. 624–625. P. 75–86. 2014.

https://doi.org/10.1016/j.tecto.2014.04.027

- Seredkina A. S-wave velocity structure of the upper mantle beneath the Arctic region from Rayleigh wave dispersion data // Phys. Earth Planet. Inter. V. 290. P. 76–86. 2019. https://doi.org/10.1016/j.pepi.2019.03.007
- Sobh M., Gerhards C., Fadel I., Götze H.-J. Mapping the thermal structure of Southern Africa from Curie depth estimates based on wavelet analysis of magnetic data with uncertainties // Geochem. Geophys. Geosyst. V. 22. № 1.

e2021GC010041. 2021. https://doi.org/10.1029/2021GC010041

– Sun S., Du J., Zhi J., Chen C., Xu H. A constrained approach by Curie point depth estimation for the 3-D inversion of regional lithospheric magnetic anomaly data in spherical coordinates and its application to the Northern Xinjiang, China // J. Geophys. Res.: Solid Earth. V. 127. № 8. e2021JB023149. 2022.

https://doi.org/10.1029/2021JB023149

– Szwillus W., Baykiev E., Dilixiati Y., Ebbing J. Linearized Bayesian estimation of magnetization and depth to magnetic bottom from satellite data // Geophys. J. Int. V. 230. № 3. P. 1508–1533. 2022.

https://doi.org/10.1093/gji/ggac133

 Tanaka A. Global centroid distribution of magnetized layer from World Digital Magnetic Anomaly Map // Tectonics. V. 36. P. 3248–3253. 2017. https://doi.org/10.1002/2017TC004770

- Tanaka A., Ishikawa Y. Crustal thermal regime inferred from magnetic anomaly data and its relationship to seismogenic layer thickness: The Japanese islands case study // Phys. Earth Planet. Inter. V. 152. P. 257–266. 2005. https://doi.org/10.1016/j.pepi.2005.04.011
- Tanaka A., Okubo Y., Matsubayashi O. Curie point depth based on spectrum analysis of the magnetic anomaly data in East and Southeast Asia // Tectonophysics. V. 306. P. 461—470. 1999.
- Wen L., Kang G., Bai C., Gao G. Studies on the relationships of the Curie surface with heat flow and crustal structures in Yunnan Province, China, and its adjacent areas // Earth Planets Space. V. 71. P. 85. 2019. https://doi.org/10.1186/s40623-019-1063-1